

УДК 519.6, 517.958:5

## СУПЕРКОМПЬЮТЕРНЫЕ ТЕХНОЛОГИИ В РАЗРАБОТКЕ МЕТОДОВ РЕШЕНИЯ ОБРАТНЫХ ЗАДАЧ В УЗИ-ТОМОГРАФИИ

А. В. Гончарский<sup>1</sup>, С. Ю. Романов<sup>1</sup>

Работа посвящена созданию эффективных методов решения обратных задач волновой томографии. Обратная задача рассматривается как коэффициентная обратная задача для волнового уравнения. Использование суперкомпьютерных технологий позволяет получать томографические изображения диагностируемых объектов с высоким разрешением.

**Ключевые слова:** коэффициентные обратные задачи, волновое уравнение, компьютерное моделирование, ультразвуковая томография, параллельные вычисления, суперкомпьютер.

**1. Введение.** В настоящее время в США, Германии, Японии и России интенсивно разрабатываются томографические установки [1–4], которые имеют целый ряд преимуществ в сравнении с рентгеновской томографией. Современная медицина немаловажна без рентгеновских томографических исследований, которые имеют лишь один недостаток. Регулярное использование рентгеновских томографов само по себе опасно для пациентов из-за высокой лучевой нагрузки. Альтернативой рентгеновской томографии могут стать разрабатываемые ультразвуковые томографы. В первую очередь УЗИ-томография призвана решать проблемы дифференциальной диагностики рака молочной железы.

С математической точки зрения обратные задачи, возникающие в УЗИ-томографии, являются намного более сложными по сравнению с обратными задачами рентгеновской томографии. Если в рентгеновской томографии хорошо работают модели геометрической оптики, то для описания процессов взаимодействия ультразвукового излучения с веществом необходимо использовать волновые модели. В рамках волновых моделей обратные задачи УЗИ-томографии являются нелинейными.

Существует несколько подходов к решению обратных задач волновой томографии. В работах [5, 6] было показано, что с применением аппарата функции Грина обратные задачи волновой томографии можно свести к системе интегральных операторных уравнений. Существует другая возможность решения обратных задач УЗИ-томографии как коэффициентных обратных задач для гиперболических уравнений в частных производных [1, 2, 7, 8]. В работе [7] было показано, что второй подход требует существенно меньшего количества операций и поэтому является перспективным. В работе [8] алгоритмы решения обратной задачи УЗИ-томографии были протестированы на грубой сетке с использованием персональных компьютеров. Было показано, что получение томографических УЗИ-изображений с высоким разрешением возможно только с использованием суперкомпьютерных технологий.

Целью настоящей работы является разработка эффективных методов решения обратных задач УЗИ-диагностики с высоким разрешением на современных суперкомпьютерах. С медицинской точки зрения для дифференциальной диагностики онкологических заболеваний диагностические комплексы должны иметь разрешение не хуже 3 мм.

**2. Постановка и методы решения обратной задачи.** Рассмотрим волновое уравнение, которое в скалярном приближении описывает акустическое поле  $u(r, t)$  в трехмерной области  $\Omega \in \mathbb{R}^3$ , ограниченной поверхностью  $S$  в течение времени  $[0, T]$  с точечным источником, располагающимся в точке  $r_0$ :

$$c(r)u_{tt}(r, t) - \Delta u(r, t) = \delta(r - r_0)f(t). \quad (1)$$

Начальные и граничные условия запишем в виде

$$u(r, t = 0) = u_t(r, t = 0) = 0, \quad \partial_n u|_{ST} = p(r, t). \quad (2)$$

Здесь  $c^{-0.5}(r)$  — скорость волны в среде;  $r \in \mathbb{R}^3$  — положение точки в пространстве;  $\Delta$  — оператор Лапласа по переменной  $r$ ; генерируемый источником импульс описывается функцией  $f(t)$ ;  $\partial_n u|_{ST}$  — производная

<sup>1</sup> Научно-исследовательский вычислительный центр, Московский государственный университет им. М. В. Ломоносова, Ленинские горы, д. 1, стр. 4, 119991, Москва; А. В. Гончарский, зав. лабораторией, e-mail: gonchar@sgcc.msu.ru; С. Ю. Романов, вед. науч. сотр., e-mail: romanov60@gmail.com

вдоль нормали к поверхности  $S$  в области  $S \times (0, T)$ ;  $p(r, t)$  — некоторая известная функция. Будем предполагать, что неоднородность среды вызвана только изменениями скорости, а вне области неоднородности скорость  $c(r) = c_0 = \text{const}$ , где постоянная  $c_0$  известна.

Обратная задача состоит в нахождении функции  $c(r)$ , которая описывает неоднородность, по экспериментальным данным измерения волны  $U(s, t)$  на границе  $S$  области за время  $(0, T)$  при различных положениях  $r_0$  источника.

Введем функционал невязки:

$$\Phi(u(c), c) = \frac{1}{2} \|u|_{ST} - U\|^2 = \frac{1}{2} \int_0^T \int_S (u(s, t) - U(s, t))^2 ds dt. \quad (3)$$

Здесь  $\|\cdot\|^2$  — квадрат нормы в пространстве  $L_2(S \times (0, T))$  и  $U(s, t)$  — экспериментальные данные измерения волны на границе  $S$  области за время  $(0, T)$ .

Для минимизации функционала будем использовать градиентные итерационные методы. В работе [7] было показано, что градиент функционала (3) можно выписать в форме

$$\Phi'_c(u(c), c) = \int_0^T w_t(r, t) u_t(r, t) dt, \quad (4)$$

где  $u(r, t)$  — решение основной задачи (1), (2), а  $w(r, t)$  — решение следующей “сопряженной” задачи при заданном  $c(r)$ :

$$\begin{aligned} c(r)w_{tt}(r, t) - \Delta w(r, t) &= 0, \\ w(r, t = T) = w_t(r, t = T) &= 0, \quad \partial_n w|_{ST} = u|_{ST} - U, \end{aligned}$$

где  $u$  — решение основной задачи (1), (2).

Таким образом, для вычисления градиента функционала необходимо решить основную и “сопряженную” задачи.

Зная  $\Phi'_c$  из (4), можно построить различные итеративные схемы для минимизации функционала невязки (3) [5].

**3. Численные алгоритмы решения обратной задачи.** Решение обратных задач ультразвуковой томографии в приведенной выше постановке (1), (2) в трехмерном пространстве  $\mathbb{R}^3$  представляет собой сложную задачу. Следуя стандартному томографическому подходу, заменим задачу диагностики трехмерного объекта на исследование двумерных сечений этого объекта. Будем считать, что в каждом из сечений процесс распространения ультразвуковой волны описывается уравнением (1) в  $\mathbb{R}^2$  при фиксированном  $z$ , так что  $r = (x, y)$ . Для вычисления градиента функционала невязки будем использовать формулу (4), где  $r \in \mathbb{R}^2$ . Аналогично функционал невязки  $\Phi(u(c), c)$  вычисляется по функции  $u(r, t)$ , где  $r \in \mathbb{R}^2$ .

Для решения обратной задачи в каждом из слоев будем использовать метод конечных разностей. В такой постановке решение волновых дифференциальных уравнений сводится к решению разностных уравнений. На области изменения аргументов введем равномерную дискретную сетку

$$v_{ijk} = \{(x_i, y_j, t_k) : x_i = ih, 0 < i < n; y_j = jh, 0 < j < n; t_k = k\tau, 0 < k < m\},$$

где  $h$  — шаг сетки по пространственным переменным и  $\tau$  — шаг сетки по времени. Параметры  $h$  и  $\tau$  связаны условием устойчивости Куранта  $c^{-0.5}\tau < h$ , где  $c^{-0.5}(r)$  — скорость волны.

Используем следующие аппроксимации производных 2-го порядка в уравнении (1):

$$u_{tt}(r, t) = \frac{u_{ijk+1} - 2u_{ijk} + u_{ijk-1}}{\tau^2}, \quad \Delta u(r, t) = \frac{u_{i+1jk} - 2u_{ijk} + u_{i-1jk}}{h^2} + \frac{u_{ij+1k} - 2u_{ijk} + u_{ij-1k}}{h^2}.$$

В области, не содержащей источников, получаем явную разностную схему для дифференциального уравнения (1):

$$c_{ij} \frac{u_{ijk+1} - 2u_{ijk} + u_{ijk-1}}{\tau^2} - \frac{u_{i+1jk} - 2u_{ijk} + u_{i-1jk}}{h^2} - \frac{u_{ij+1k} - 2u_{ijk} + u_{ij-1k}}{h^2} = 0.$$

Здесь  $u_{ijk}$  — значения функции  $u(r, t)$  в точках  $(x_i, y_j)$  в момент времени  $t_k$  и  $c_{ij}$  — значения функции  $c(r)$  в точках  $(x_i, y_j)$ . Аналогично выписывается разностная схема для  $w$ . Решение находится по слоям в

явной форме. Градиент (4) функционала (3) вычислялся по разностной формуле

$$\text{grad}_{ij} = \sum_{k=0}^m \frac{u_{ijk+1} - u_{ijk}}{\tau} \frac{w_{ijk+1} - w_{ijk}}{\tau} \tau.$$

**4. Численный эксперимент.** Для демонстрации эффективности предложенных алгоритмов приведем решение модельной задачи восстановления двумерных неоднородностей в томографическом слое.

Расчеты проводились при длине волны 5 мм, размер области расчетов 150 × 150 мм, количество точек сетки 1000 × 1000, количество приемников — 4000. Модельная задача решалась для четырех источников (рис. 1). На рис. 1 приведена схема эксперимента; источники обозначены цифрой 1, приемники обозначены цифрой 2.

На рис. 2 приведен модельный фантом, в котором были использованы как области пониженной эхоплотности, так и области повышенной эхоплотности. Размер диагностируемой области около 100 мм. Размер минимальной неоднородности не превосходит 2 мм. На рис. 3 приведено восстановленное распределение скорости  $c(x, y)$ , полученное через 500 итераций. Начальное приближение в итерационном процессе было выбрано следующим образом:  $c(x, y) = \text{const} = c_0$ . Из сопоставления рис. 2 и 3 видно, что разрешающая способность УЗИ-томографического комплекса, полученная как результат модельных расчетов, не хуже 3 мм. Для решения задачи использовалось 64 ядра суперкомпьютера “Ломоносов”, установленного в Научно-исследовательском вычислительном центре МГУ им. М. В. Ломоносова. Время решения на суперкомпьютере “Ломоносов” составило около 3 часов.

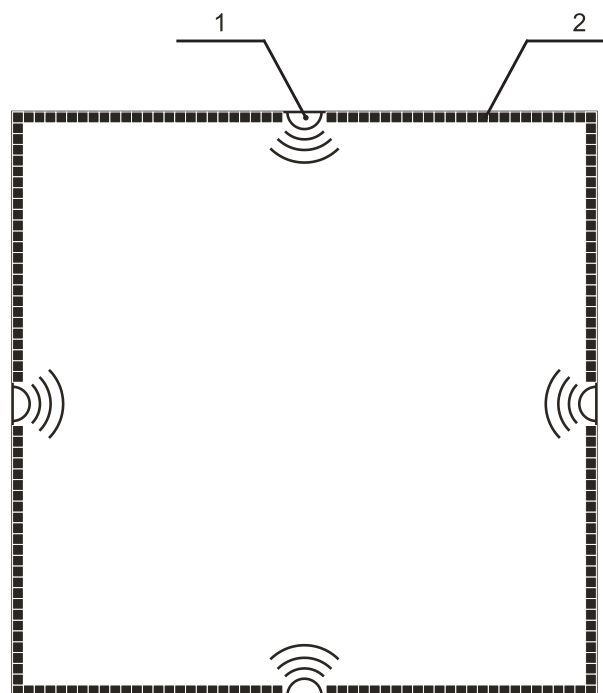


Рис. 1. Схема эксперимента

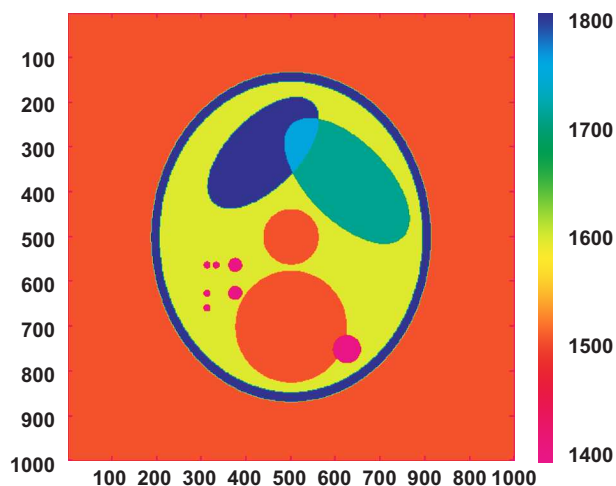


Рис. 2. Модельная неоднородность

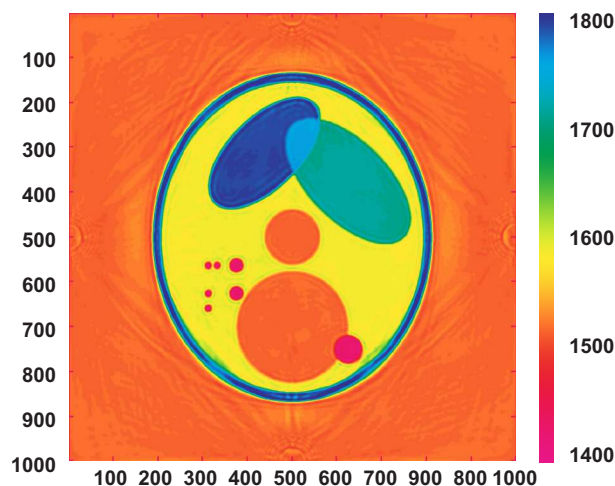


Рис. 3. Восстановленное изображение

**5. Выводы.** Использование суперкомпьютеров позволяет создать эффективные методы решения обратных задач ультразвуковой диагностики с высоким разрешением. Восстановленные в модельных расчетах результаты были получены на сетках из 1000 × 1000 точек. Проведенные модельные расчеты показывают, что реальное разрешение восстановленных изображений не хуже 3 мм.

Работа выполнена при финансовой поддержке Министерства образования и науки РФ в рамках ФЦП “Исследования и разработки по приоритетным направлениям развития научно-технологического комплекса России на 2007–2013 годы”, госконтракт № 07.514.12.4024.

## СПИСОК ЛИТЕРАТУРЫ

1. *Natterer F., Wubbeling F.* A propagation-backpropagation method for ultrasound tomography // *Inverse Problems*. 1995. **11**, N 6. 1225–1232.
2. *Beilina L., Klibanov M.V., Kokurin M.Yu.* Adaptivity with relaxation for ill-posed problems and global convergence for a coefficient inverse problem. Chalmers Preprint Series. Preprint 2009:47. Gothenburg: University of Gothenburg, 2009.
3. *Duric N., Littrup P., Poulo L., et al.* Detection of breast cancer with ultrasound tomography: first results with the Computed Ultrasound Risk Evaluation (CURE) prototype // *Medical Physics*. 2007. **34**. 773–785.
4. *Gemmeke H., Menshikov A., Tchernikovski D., et al.* Hardware setup for the next generation of 3D ultrasound computer tomography // *Proc. IEEE Nuclear Science Symposium*. Knoxville, 2010. 2449–2454.
5. *Bakushinsky A.B., Goncharsky A.V.* Ill-posed problems. Theory and applications. Dordrecht: Kluwer Academic Publ., 1994.
6. *Гончарский А.В., Овчинников С.Л., Романов С.Ю.* Об одной задаче волновой диагностики // *Вестн. МГУ. Сер. 15. Вычисл. матем. и киберн.* 2010. № 1. 7–13.
7. *Гончарский А.В., Романов С.Ю.* О двух подходах к решению коэффициентных обратных задач для волновых уравнений // *Журн. вычисл. матем. и матем. физики*. 2012. **52**, № 2. 1–7.
8. *Гончарский А.В., Романов С.Ю.* Об одной задаче ультразвуковой томографии // *Вычислительные методы и программирование*. 2011. **12**, № 1. 317–320.

Поступила в редакцию  
29.01.2012

---